

УДК 539.3

© 1990 г.

В. А. БУРЯЧЕНКО, В. З. ПАРТОН

ЭФФЕКТИВНЫЕ ПАРАМЕТРЫ
СТАТИСТИЧЕСКИ НЕОДНОРОДНЫХ МАТРИЧНЫХ КОМПОЗИТОВ

В работе [1] указывалось на необходимость учета реальной структуры композитного материала в задачах микромеханики и возможную неправомерность исходного допущения подавляющего числа работ о статистической однородности композитной среды, в частности инвариантность функции распределения включений относительно трансляций [2, 3]. Например в случае технологических несовершенств смещения, концентрация включений может быть функцией координат. Рост повреждаемости также происходит локализованно в области концентрации напряжений, например, в вершине макротрещины [4]. Наконец в армированных пластиках положение центров волокон в пределах периодических слоев случайно и уравнения микромеханики являются уравнениями с почти периодическими коэффициентами [5]. В частных случаях отмеченных задач возможно применение метода возмущения для слабо неоднородных материалов [3] и статистическое моделирование [6] с последующим решением серии детерминированных задач. В работе дано обобщение метода эффективного поля (МЭП) [7, 8] для статистически неоднородных матричных композитов с произвольным отличием в модулях компонентов.

1. Общие соотношения. Рассматривается макрообласть w с характеристической функцией W , содержащая статистически неоднородное множество $X = (V_h, x_h, \omega_h)$ эллипсоидов v_h с характеристическими функциями V_h , центрами x_h , полуосями a_h^i ($a_h^1 \geq a_h^2 \geq a_h^3$), совокупностью Эйлеровых углов ω_h и тензорами модулей упругости $L(x) = L_0 + L_1(x) = L_0 + L_1^{(h)}$, где $x \in v_h$ и L_0 — однородный модуль упругости матрицы. Подставляя локальное уравнение состояния $\sigma(x) = L(x)\varepsilon(x)$ в уравнение равновесия $\nabla\sigma = 0$, где ∇ — оператор симметрированного градиента, получим дифференциальное уравнение относительно смещений u , $\varepsilon = \nabla u$. Сводя последнее уравнение к интегральному и преобразовывая его по предложенной ранее схеме [7], получим

$$\varepsilon(x) = \langle \varepsilon \rangle(x) + \int U(x-y) [L_1(y)\varepsilon(y) - \langle L_1 \varepsilon \rangle(y)] dy \quad (1.1)$$

$$\sigma(x) = \langle \sigma \rangle(x) + \int \Gamma(x-y) [M_1(y)\sigma(y) - \langle M_1 \sigma \rangle(y)] dy \quad (1.2)$$

где $U = \nabla \nabla G$ — тензор Грина уравнения Ламе для однородной среды с модулем L_0 ; $\Gamma(x-y) = (I\delta(x-y) + U(x-y)L_0)$, δ — дельта функция, $M_1(y) = M(y) - M^{(0)}$, $M^{(0)} = L_0^{-1}$, $M(y) = M^{(h)} - L^{-1}(y)$ при $y \in v_h$; граничные условия задавались в смещениях $\varepsilon(x) = \varepsilon_0 x$, $\varepsilon_0 = \text{const}$, $x \in w$. В (1.1) и ниже $\langle \cdot \rangle(x)$, $\langle \cdot | x_1, \dots, x_n; x_{n+1}, \dots, x_m \rangle(x)$ обозначают среднее и условное среднее по ансамблю статистически неоднородного поля X при условии, что в точках x_1, \dots, x_m находятся включения и $x_1, \dots, x_n \neq x_{n+1}, \dots, x_m$; $\langle \cdot \rangle_h$ — среднее по объему эллипсоида v_h . Уравнения (1.1) имеют место в области w , содержащей статистически большое число включений, за исключением пограничья с характерным размером, пропорциональным a^1 .

Для статистически однородных композитов уравнение (1.2) эквивалентно полученному в [7] и отличается от используемого в [9]:

$$\sigma(x) = \langle \sigma \rangle + \int \Gamma(x-y) M_1(y) \sigma(y) dy \quad (1.3)$$

наличием члена $\langle M_1 \sigma \rangle$ под знаком интеграла. Соотношение (1.3), верное

только для конечного числа включений, приводит к корректным результатам лишь при дополнительном допущении

$$\int \Gamma(x-y) dy = 0 \quad (1.4)$$

которое равносильно введению в теорию обобщенных функций на физическом уровне строгости новой операции — действия однородной обобщенной функции $\Gamma(x)$ степени (-3) на постоянную. Допущение (1.4), приводящее к незначительному формальному упрощению уравнений при исследовании статистически однородных композитов, оказывается бесперспективным при анализе статистически неоднородных сред; когда возникает необходимость определения свертки $\Gamma(x)$ с, вообще говоря, произвольной кусочно непрерывной функцией $\langle M_1 \sigma \rangle(x)$. Указанного затруднения можно легко избежать, если использовать вместо (1.3) соотношения (1.1), (1.2).

Локальный эффективный модуль $L^*(x)$ (в отличие от глобального [7]) в уравнении $\langle \sigma \rangle(x) = L^*(x) \langle \varepsilon \rangle(x)$ найдем из осреднения по ансамблю локального уравнения состояния

$$L^*(x) = L_0 + A^*, \quad \langle L_1 \varepsilon \rangle(x) = A^* \langle \varepsilon \rangle(x) \quad (1.5)$$

Для оценки среднего $\langle L_1 \varepsilon \rangle(x)$ введем $\varphi(v_m | x_1, \dots, x_n)$ — условные плотности распределения m -го включения в области v_m при фиксированных включениях v_1, \dots, v_n в центрах x_1, \dots, x_n . В общем случае $\varphi(v_m | x_1, \dots, x_n) \neq \varphi(v_m | x_1 + x, \dots, x_n + x)$ и $\varphi(v_m | x_1, \dots, x_n) = 0$ при $x_m \in v_{m_1, \dots, n}^0 = U v_j^0$ (объединение по $j=1, \dots, n$), где области $v_j^0 \supset v_j$ имеют характеристические функции V_j^0 ; $\varphi(v_m | x_1, \dots, x_n) \rightarrow \varphi(v_m)$ при $|x_i - x_m| \rightarrow \infty, i=1, \dots, n$. Усредним (1.1) на множествах $X(\cdot | v_1), X(\cdot | v_1, v_2) \dots$ при фиксированных включениях $v_1; v_1, v_n; \dots$ с помощью различных плотностей распределения $\varphi(v_m | x_1, \dots, x_n)$:

$$\begin{aligned} \varepsilon(x) - \sum_{j=1}^n \int U(x-y) \langle V_j(y) L_1(y) \varepsilon(y) | x_1, \dots, x_n \rangle(y) dy = \langle \varepsilon \rangle(x) + \\ + \int U(x-y) [\langle L_1(y) \varepsilon(y) | y, x_1, \dots, x_n \rangle(y) - \langle L_1 \varepsilon \rangle(y)] dy \quad (1.6) \end{aligned}$$

где $n=1, 2, \dots$ и в каждой n -й строке системы (1.6) x может пробегать значения во включениях v_1, \dots, v_n , т.е. n -я строка (1.6) содержит n уравнений. Обозначим правую часть (1.6) через $\varepsilon^{\wedge}(x)_{1, \dots, n}$ и определим

$$\varepsilon_i^{-}(x) = \varepsilon^{\wedge}(x)_{1, \dots, n} + \sum_{j \neq i}^n \int U(x-y) \langle V_j(y) L_1(y) \varepsilon(y) | x_1, \dots, x_n \rangle(y) dy \quad (1.7)$$

т.е. введены в рассмотрение эффективные поля $\varepsilon^{\wedge}(x)_{1, \dots, n}$ и $\varepsilon_i^{-}(x)$ ($i=1, \dots, n$) в которых находятся n включений и i -е включение соответственно.

2. Эффективное поле. Для замыкания и последующего приближенного решения (1.6) примем гипотезы МЭП: H_1). Каждое включение v_i имеет эллипсоидальную форму и точечное приближение размеров при анализе полей деформаций вне рассматриваемого включения, и находится в однородном поле $\varepsilon_i^{-}(x)$ H_2). При достаточно большом n имеет место замыкание $\varepsilon^{\wedge}(x)_{1, \dots, n} = \varepsilon^{\wedge}(x)_{1, \dots, n}$, где правая часть равенства не содержит некоторый индекс $j \neq i, 1 \leq j \leq n$ и $x \in v_i$.

Из (1.6) и гипотезы H_1) найдем однородный тензор деформаций внутри эллипсоидального включения v_i [1-3]:

$$\varepsilon(x) = A_i \langle \varepsilon_i^{-}(x) \rangle, \quad A_i = (I + P_i L_i^{(i)})^{-1}, \quad P_i = - \int U(x-y) V_i(y) dy \quad (2.1)$$

Под точечным приближением размеров включения гипотезы H_1) будем

понимать выполнение равенства

$$\int U(x-y)V_i(y)L_i(y)\varepsilon(y)dy = \langle U(x-y) \rangle_i \langle L_i(y)\varepsilon(y) \rangle_i v_i^- \quad (2.2)$$

при $x \neq v_i$, $v_i^- = \text{mes } v_i$, $\langle f(x-y) \rangle_i = (v_i^-)^{-1} \int f(x-y)V_i(y)dy$.

3. Оценка взаимодействия конечного числа включений. При допущениях гипотезы H_1) система (1.6) при фиксированных значениях $\langle \varepsilon^{\wedge}(x)_{i_1, \dots, n} \rangle_i$ ($x \in v_i$) правых частей становится алгебраической и с помощью (2.1), (2.2) найдем (суммирование по $j=1, \dots, n$; $j \neq i$):

$$\langle \varepsilon^-(x_i) | x_1, \dots, x_n \rangle - \sum S(x_i - x_j) R_j \langle \varepsilon^-(x_j) | x_1, \dots, x_n \rangle = \langle \varepsilon^{\wedge}(x_i)_{i_1, \dots, n} \rangle \quad (3.1)$$

где $R_j = L_i^{(i)} A_i v_i^-$, $S(x_i - x_j) = (v_i^- v_j^-)^{-1} \iint U(x-y)V_i(x)V_j(y)dx dy$. Система (3.1) является алгебраической относительно $\langle \varepsilon^-(x_i) | x_1, \dots, x_n \rangle$ и имеет решение (суммирование по $j=1, \dots, n$):

$$R_i \langle \varepsilon^-(x_i) | x_1, \dots, x_n \rangle = \sum Z_{ij} R_j \langle \varepsilon^{\wedge}(x_j)_{i_1, \dots, n} \rangle \quad (3.2)$$

где матрица Z имеет обратную Z^{-1} с элементами Z_{mk}^{-1} ($m, k=1, \dots, n$) в виде подматриц

$$Z_{mk}^{-1} = I \delta_{mk} - (1 - \delta_{mk}) S(x_m - x_k) R_k \quad (3.3)$$

Для бесконечно удаленных включений можно принять [7]:

$$Z_{mk}^{-1} = I \delta_{mk} - (1 - \delta_{mk}) U(x_m - x_k) R_k \quad (3.4)$$

Решение (3.2) может быть построено также методом последовательных приближений [7], тогда с учетом первых двух итераций

$$Z_{ij} = I \delta_{ij} + (1 - \delta_{ij}) S(x_i - x_j) R_j \quad (3.5)$$

Различные примеры построения матрицы Z с оценкой погрешности метода рассмотрены в [7, 10, 11].

4. Оценка эффективных параметров. Проводя условное усреднение (1.6) по ансамблям $X(\cdot | v_1)$, $X(\cdot | v_1, v_2)$, ... в рамках гипотез H_1), H_2) МЭП с помощью соотношений (2.1), (2.2), (3.2), получим замкнутую систему интегральных уравнений относительно $\langle \varepsilon^{\wedge}(x)_{i_1, \dots, j} \rangle_i$ ($j=1, \dots, n$, $i=1, \dots, j$, суммирование по $l=1, \dots, j+1$):

$$\begin{aligned} \langle \varepsilon^{\wedge}(x_i)_{i_1, \dots, j} \rangle &= \langle \varepsilon \rangle(x) + \int S(x_i - x_q) \{ \varphi(v_q | x_1, \dots, x_j) \sum Z_{ql} R_l \langle \varepsilon^{\wedge}(x_l)_{i_1, \dots, j+1} \rangle - \\ &\quad - \langle U(x_i - x_q) \rangle_i \langle R \varepsilon_i^{\wedge} \rangle(x_q) \} dx_q; \quad \langle \varepsilon^{\wedge}(x_i)_{i_1, \dots, n} \rangle = \\ &= \langle \varepsilon \rangle + \int S(x_i - x_q) \{ \varphi(v_q | x_1, \dots, x_{n-1}) \sum Z_{ql} \langle \varepsilon^{\wedge}(x_l)_{i_1, \dots, n} \rangle - \\ &\quad - \langle U(x_i - x_q) \rangle_i \langle R \varepsilon_i^{\wedge} \rangle(x_q) \} dx_q \end{aligned} \quad (4.1)$$

В правой части последнего уравнения тензор $\varepsilon^{\wedge}(x)_{i_1, \dots, n}$ и образован из тензора $\varepsilon^{\wedge}(x)_{i_1, \dots, n}$ левой части заменой одного из индексов на q . Значение $\langle \varepsilon^{\wedge}(x_i)_{i_1, \dots, n} \rangle$ ($i=1, \dots, n$) оцениваем из последней строки (4.1) методом последовательных приближений при всех возможных включениях v_1, \dots, v_n . Найденное значение $\langle \varepsilon^{\wedge}(x_i)_{i_1, \dots, n} \rangle$ подставляем в правую часть $(n-1)$ строки (4.1), определяем $\langle \varepsilon^{\wedge}(x_i)_{i_1, \dots, n-1} \rangle$ ($i=1, \dots, n-1$) и так далее.

В частности, для $n=2$, N компонент включений и допущении

$$\langle \varepsilon^{\wedge}(x_i)_{i_2} \rangle = \langle \varepsilon^-(x_i) \rangle = \text{const} \quad (4.2)$$

система (4.1) преобразовывается к виду

$$\begin{aligned} \langle \varepsilon^-(x_i) \rangle &= \langle \varepsilon \rangle(x_i) + \sum_{q \neq i}^N \int S(x_i - x_q) Z_{qi} R_i \langle \varepsilon^-(x_i) \rangle \varphi(v_q | x_q; x_i) + \\ &+ \sum_{q=1}^N \int \{ S(x_i - x_q) Z_{qq} \varphi(v_q | x_q; x_i) - \langle U(x_i - x_q) \rangle_i \} R_q \langle \varepsilon^-(x_q) \rangle dx_q \end{aligned} \quad (4.3)$$

Система (4.3) для статистически неоднородных сред также является системой интегральных уравнений, но при аппроксимации матрицы соотношением (3.5), (4.3) становится алгебраической системой (суммирование по $m=1, \dots, N$):

$$\sum Y_{km}^{-1} R_m \langle \varepsilon^-(x_m) \rangle = R_k \langle \varepsilon \rangle (x) \quad (4.4)$$

где подматрицы Y_{km}^{-1} матрицы $Y^{-1} = (Y^{-1})_{km}$ ($k, m=1, \dots, N$) равны

$$(Y^{-1})_{km}(x) = \delta_{km} \left(I - R_k \sum_{q \neq m} \int S(x_k - x_q) R_q S(x_q - x_k) \varphi(v_q | x_q; x_q) dx_q \right) - R_k P(v_{km}^0) \langle \varphi(v_m | x_m) \rangle (x) \quad (4.5)$$

В (4.4) пренебрегли нелокальными эффектами и приняли, что вне области v_{km}^0 $\varphi(v_m | x_m; x_q) = \varphi(v_m | x_m)$. Из (1.5), (2.1) и (4.4) определим локальный эффективный модуль

$$L^*(x) = L_0 + \sum_{i=1}^N R_i n_i D_i(x), \quad D_i(x) = R_i^{-1} \sum_{j=1}^N Y_{ij} R_j \quad (4.6)$$

Средние напряжения внутри включений $\langle \sigma(x_i) \rangle_i$ и в матрице $\langle \sigma \rangle_0(x)$ найдем из соотношений $\langle \sigma(x_i) \rangle_i = L(x_i) A_i D_i(x_i) M^*(x_i) \langle \sigma \rangle (x)$, $\langle \sigma \rangle_0(x) = (I - \langle V \rangle (x))^{-1} (\langle \sigma \rangle (x) - \langle \sigma(x) V(x) \rangle (x))$, где $M^*(x) = (L^*(x))^{-1}$. Для статистически однородных композитов ранее [8] получено точное выражение для среднего по компоненту α ($\alpha=0, 1, \dots$) одноточечного второго момента поля напряжений

$$\langle \sigma_{ij} \sigma_{kl} \rangle_\alpha (x) = (v_\alpha^-)^{-1} \partial M_{mnpq}^* (x) / \partial M_{ijkl}^{(\alpha)} \langle \sigma_{mn} \rangle (x) \langle \sigma_{pq} \rangle (x) \quad (4.7)$$

Используя обобщение условия Хилла на статистически неоднородные композиты [12], можно показать, что равенство (4.7) имеет место и в этом случае.

Соотношение (4.6) лишь внешне эквивалентно аналогичному выражению для глобального модуля L^* , полученного в [7], из которой следуют результаты [9] и более поздней [10] (См. также Канаун С. К., Кудрявцева Л. Т. Согласованные схемы осреднения в механике матричных композитов: Препринт № 17. ЛФИМаш, 1989). Отличие состоит в зависимости $L^*(x)$ от параметров распределения включений не только в самой точке x , но и в некоторой ее окрестности; диаметр этой области согласно проведенным оценкам в пять раз превышает характерный размер включений. Тем самым микронеоднородная среда ведет себя как макроскопически неоднородная с эффективным модулем $L^*(x)$, определяемым нелокальным распределением включений. Соотношения (1.5), (4.6) позволяют найти для заданных граничных условий распределение $\langle \sigma \rangle (x)$, $\langle \varepsilon \rangle (x)$ в макрообласти w , а с помощью (4.4), (2.1) — средние поля деформаций внутри включений.

Частным случаем статистически неоднородного поля включений является представление его в виде стационарного, периодического в широком смысле, случайного процесса. Уравнение (1.1) будет уравнением с почти периодическими функциями [5] и осредненные по ансамблю полевые и материальные тензоры становятся периодическими детерминированными тензорами. Поскольку $\varphi(v_k | x_k)$, $\varphi(v_q | x_q; x_k)$ периодические функции x_k, x_q , то из (4.4), (4.5) следует, что локальный эффективный модуль $L^*(x)$ будет детерминированной периодической функцией координат; при этом в случае, если характерный размер включений соизмерим с размером ячейки периодичности, то область интегрирования в (4.5) содержит несколько соседних ячеек. Тем самым последующая оценка $\langle \varepsilon \rangle (x)$ может быть проведена стандартными методами анализа регулярных структур.

5. Примеры. Проанализируем соотношения (4.4), (4.5) на модельном примере. Пусть $\varphi(v_q | x_q) = \text{const}$ при $x \in v^w$ и $\varphi(v_q | x_q) = 0$ при $x \notin v^w$ ($q=1, 2, \dots$), т. е. рассмотрим конечное эллипсоидальное облако включений v^w с полуосями a_w^i с однородным

h	[16]	$n=\infty$ [11]	$n=\infty$ [9]	$n=3$	$n=2$
2	1,13	1,13	1,11	1,12	1,12
1,5	1,29	1,29	1,22	1,26	1,26
1,25	1,56	1,57	1,35	1,52	1,47
1,1	2,21	2,27	1,50	2,20	1,86
1,05	3,00	3,19	1,58	3,44	2,21
1,025	4,13	4,67	1,68	7,80	2,57

Таблица 2

h	$k_I'(-0,5)$ [17]	$k_I'(0,5)$ [17]	$k_I'(-0,5)$	$k_I'(0,5)$
1,3	0,776	0,882	0,773	0,873
1,2	0,705	0,857	0,703	0,833
1,1	0,578	0,813	0,554	0,748

распределением включений внутри облака. При $a_w^3 \gg a_q^4$ локальный эффективный модуль облака (4.6) совпадает с эффективным модулем L^* соответствующей статистически однородной композитной среды за исключением некоторого погранслоя (суммирование по $i=1, 2, 3$) $\Sigma(x_i/a_w)^2 \approx 1$. Тогда средние деформации внутри облака определяются соотношением (2.1) $\langle \varepsilon \rangle(x) = A(v^w) \varepsilon_0$, где при определении тензора $A(v^w)$ по формулам (2.1) нужно вместо L_1 использовать $L^* - L_0$. Тогда из (4.4) найдем среднее значение тензора поляризации $t = L_1^{(1)} \varepsilon$ на включениях v_i внутри облака (суммирование по $j=1, \dots, N$) $R_i \langle \varepsilon^-(x_i) \rangle = \Sigma Y_{iq} R_q A(v^w) \varepsilon_0$, что отличается от выражения для среднего значения тензора поляризации на включениях статистически однородной композитной среды [7] в конечном числе раз $A(v^w) L_0^{-1} L^* \neq I$, причем это отличие зависит от формы, но не размеров, облака v^w . В частности, для несжимаемой матрицы и шарового облака v^w с однородным распределением жестких шаровых включений одного размера при допущениях и обозначениях работы [7] найдем компоненты изотропного тензора $A(v^w) L_0^{-1} L^* = (1, 1 + 2c(1 - 23c/16)^{-1})$, $c = (V)$. Таким образом, использование так же сколь угодно большого, но конечного числа включений для оценки среднего концентратора напряжений на включениях, в общем случае неправомерно. Но согласно (4.6) конечное число включений может быть использовано для оценки локального эффективного модуля $L^*(x)$, который в глубине достаточно большого облака включений будет равен эффективному модулю статистически однородной композитной среды в классическом понимании [1-3].

Проведем оценку погрешностей, связанных с использованием гипотез H_1, H_2 на примере плоской задачи для системы прямолинейных разрезов (трещин) единичной длины, случайная реализация которых расположена на прямой $l(y=0)$ в узлах регулярной решетки $\varphi(v_k|x_k) = \delta(kh + \xi)$, $k = \dots, -1, 0, 1, \dots, h > 1$, случайная величина ξ равномерно распределена на $[0, h]$. Внешнее поле ε_0 представляет собой одноосное растяжение в направлении нормали $n \perp l$ и имеет вид $\varepsilon_0^{\alpha\beta} = \varepsilon_0 n^\alpha n^\beta$, ε_0 — скаляр; $\alpha, \beta = 1, 2$. Тогда состояние каждого дефекта определяется полем ε^- и $\varepsilon^{-\alpha\beta} n_\beta = \varepsilon_0^{-\alpha} n^\alpha$, где $\varepsilon_0^{-\alpha}$ — скаляр. Необходимо оценить относительное изменение коэффициента интенсивности напряжений (КИН) $k_I = K_I/K_I^0 \sim h$, где K_I^0 — КИН для изолированной трещины в неограниченной плоскости. Примем приближенную оценку $k_I = \varepsilon_0^{-\alpha} / \varepsilon_0^\alpha$; более точное выражение для k_I может быть построено с учетом того, что поле $\varepsilon_0^{-\alpha}$ в окрестности рассматриваемого дефекта неоднородно и равно суперпозиции полей, индуцированных окружающими разрезами [11]. В таблице [1] приведено сравнение точного решения $k_I^T = 2 \sin(\pi h/2) (\pi \sin(\pi/h)/h)^{-1/2}$ [16] с различными приближенными оценками.

Оценку коэффициента взаимодействия дефектов Λ_{ij} в матрицах Z (3.2) и Z^{-1} : $(Z_{ij}^{-1})^{\alpha\beta} = (\delta_{ij} - (1 - \delta_{ij}) \Lambda_{ij}) n^\alpha n^\beta$; $\alpha, \beta = 1, 2$ проведем по соотношениям (3.3) и (3.4) соответственно

$$\Lambda_{ij} = -1 + [(|i-j|+h+1)^{1/2} - (|i-j|+h-1)^{1/2}] (|i-j|+h)^{-1/2} \quad (5.1)$$

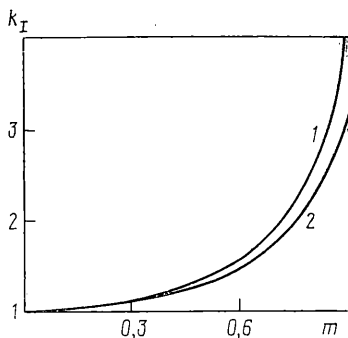
$$\Lambda_{ij} = (|i-j|+h)^{-2/2} \quad (5.2)$$

Уравнение (5.1) получено в предположении однородности эффективного поля $\varepsilon_0^{-\alpha}$ в окрестности дефекта (гипотеза H_1), формула (5.1) для бесконечно удаленных дефектов переходит в (5.2) (такое приближение использовалось в работе [9]). Для бесконечной системы регулярно расположенных трещин ($n=\infty$) из уравнения (3.2) определим значения $k_I = (1 - 2 \Sigma \Lambda_{0i})^{-1}$, ($i=1, \dots, \infty$), приведенные в столбцах 3 и 4 таблицы 1 для соотношений (5.1) и (5.2) соответственно. Из таблицы видно, что применение гипотезы H_1 обеспечивает достаточно высокую точность решения; использование в оценке коэффициента взаимодействия предположения о бесконечной удаленности дефектов (5.2), что делалось в работе [9], приводит к значительным погрешностям. Приведенные расчеты являются лишь оценкой точности приближения коэффициента взаимодействия различными способами и не могут служить оценкой погреш-

ности одночастичного варианта МЭП [9] в силу использования в нем гипотезы «квазикристаллического» приближения $Z_{ij} = I\delta_{ij}$. Перейдем к обоснованию правомерности принятия гипотезы H_2 . Проведя усреднение по случайному ансамблю реализаций дефектов получим, что член $\langle Re_1 \rangle$ в системе (4.1) исчезнет. Рассчитанные по уравнениям (4.1), (5.1) значения концентратора напряжений k_I для трех ($n=3$) и двух ($n=2$) частичным приближениям МЭП, приведены в таблице в 5 и 6 столбцах. Эти оценки следует сравнить с данными третьего столбца таблицы ($n=\infty$, [11]), поскольку при их получении использовался приближенный коэффициент взаимодействия (5.1). Погрешность приближения убывает с увеличением h и числа учитываемых взаимодействующих дефектов и, например, при $n=3$, $h=2$, 1, 0,5 равна 7,5%. Таким образом погрешность, обусловленная конечным числом учитываемых взаимодействующих включений существенно меньше погрешности, связанной с учетом взаимодействия бесконечного числа включений по формуле (5.2).

Рассмотрим полубесконечную регулярную решетку трещин на прямой l ($y=0$): $\varphi(v_k|x_k) = \delta(kh + \xi)$, $k=0, 1, \dots, h>1$, случайная величина ξ равномерно распределена на $[0, h]$. В этом случае поле $e_0^{-\circ}(x_k)$ будет функцией координаты узла x_k . Найдем постоянные значения эффективных полей $e_0^{-\circ}(x_k)$ ($k=1, 2, \dots$) с помощью трехчастичного приближения МЭП. Поле $e_0^{-\circ}(x)$, $-0,5 < x < 0,5$ на крайней левой трещине определим как суперпозицию полей e_0° и $e_0^{-\circ}(x_k)$ по схеме [11]. Тогда можно определить относительное изменение КИН $k_I'(\pm 0,5) = K_I(\pm 0,5)/K_I^{\infty}$, где K_I^{∞} – рассчитанное значение КИН для бесконечной регулярной решетки трещины. В таблице 2 во 2 и 3 столбцах приведены точные значения $k_I'(-0,5)$ и $k_I'(0,5)$, полученные в [17] методом теории функций комплексного переменного; видно удовлетворительное совпадение с приведенными в 4 и 5 столбцах значениями $k_I'(-0,5)$ и $k_I'(+0,5)$, рассчитанных по формулам (4.1), (5.1) МЭП.

В качестве примера статистически неоднородного поля включений рассмотрим аналогичную плоскую задачу для полубесконечного случайного поля коллинеарных трещин единичной длины, расположенных на полупрямой l ($y=0, x \geq 0$): $\varphi(v_k|x_k) = H(x_k) \cdot m$, m – счетная концентрация дефектов на полупрямой, H – функция Хевисайда. Тогда эффективное поле, в котором находится исследуемое включение, будет функцией координат $e_0^{-\circ} = e_0^{-\circ}(x)$. На фиг. представлены зависимости коэффициента концентратора k_I от m , рассчитанные по трехчастичному приближению МЭП с использованием формул (4.1), (5.1) для $x=\infty$ и $x=0$ (кривые 1 и 2 соответственно). Изменение k_I при приближении к границе множества дефектов $x=0$ согласуется с результатами аналитического решения задачи о полубесконечном регулярном множестве коллинеарных трещин на полупрямой [17].



СПИСОК ЛИТЕРАТУРЫ

1. Mechanics of composites./Eds. by I. F. Obratsov, V. V. Vasil'ev. M.: Mir, 1982. 280 p.
2. Mura T. Micromechanics of defects in solid. Martinus Nijhoff Publ.: Dordrecht, 1987. 587 p.
3. Шермергор Т. Д. Теория упругости микронендродных сред. М.: Наука, 1977. 399 с.
4. Кауш Г. Разрушение полимеров. М.: Мир, 1981. 440 с.
5. Козлов С. М. Осреднение дифференциальных операторов с почти периодическими быстро осциллирующими коэффициентами // Мат. сб. 1978. Т. 107. № 2. С. 199–217.
6. Ромалис Н. Б., Тамуж В. Н. Взаимодействие дисковидной макротрещины с полем распределенных микротрещин // Изв. АН СССР. МТТ. 1988. № 5. С. 79–88.
7. Буряченко В. А. Корреляционная функция полей напряжений в матричных композитах // Изв. АН СССР. МТТ. 1987. № 3. С. 69–76.
8. Паргон В. З., Буряченко В. А. Флуктуации напряжений в упругих композитах // Докл. АН СССР. 1990. Т. 310. № 5. С. 1075–1078.
9. Канаун С. К. Метод эффективного поля в линейных задачах статики композитной среды // ПИММ. 1982. Т. 4. Вып. 4. С. 655–665.
10. Berveiller M., Fassi-Fenry O., Hithi A. The problem of two plastic and heterogeneous inclusions in an anisotropic medium // Intern. J. Eng. Sci. 1987. V. 25. № 6. P. 691–709.
11. Kachanov M. Elastic solids with many cracks: a simple method of analysis // Intern. J. Solid Struct. 1987. V. 23. № 1. P. 23–43.
12. Kreher W. Internal stresses and relations between effective thermoelastic properties of stochastic solids-some exact solutions // Z. Angew. Math. Mech. 1988. V. 68. № 3. P. 147–154.
13. Tada H., Paris P. C., Irwin G. R. The stress analysis of cracks handbook. Hellertown. Del Research Corp.: Pennsylvania, 1973. 403 p.
14. Rubinstein A. Semi-infinite array of cracks in a uniform stress field // Eng. Fracture Mech. 1987. V. 26. № 1. P. 15–21.

Москва

Поступила в редакцию
5.I.1990